

Х. С. ХАЗАНОВ

НАПРЯЖЕННОЕ СОСТОЯНИЕ ЦИЛИНДРИЧЕСКОЙ ОБОЛОЧКИ С ПОДКРЕПЛЕННЫМ КРУГЛЫМ ОТВЕРСТИЕМ

ПРИНЯТЫЕ ОБОЗНАЧЕНИЯ

R, h — радиус срединной поверхности и толщина оболочки,

h_1 — толщина подкрепляющего кольца,

$\bar{h} = \frac{h_1}{h}$ — относительная толщина кольца,

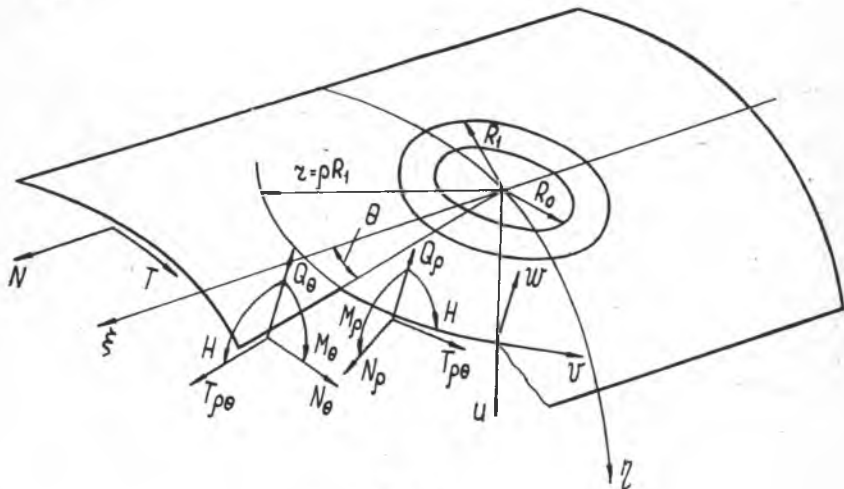
b — ширина кольца,

R_0, R_1 — радиус внутреннего и наружного контуров кольца соответственно,

$\lambda = \frac{R}{h}, \lambda_1 = \frac{R}{h_1}, \kappa = \frac{R_1}{R}, \kappa_0 = \frac{R_0}{R}$ — безразмерные параметры оболочки и кольца,

ξ, η — безразмерные декартовы координаты точек срединной поверхности оболочки и кольца, отнесенные к радиусу линии спая R_1 (начало координат — в центре отверстия),

$\rho = \frac{r}{R_1}, \theta$ — полярные на развертке цилиндра координаты (фиг. 1),



Фиг. 1.

u, v, w — компоненты перемещения точек срединной поверхности оболочки для дополнительного состояния,
 $M_\rho, M_\theta, H_{\rho\theta}, N_\rho, N_\theta, T_{\rho\theta}$ — изгибающие и крутящие моменты, нормальные и касательные усилия в сечениях оболочки для дополнительного состояния,

Q_ρ^* — обобщенная перерезывающая сила в смысле Кирхгофа,

E, E_1, μ, μ_1 — модуль упругости и коэффициент Пуассона материала оболочки и подкрепляющего кольца,

$H_n^{(1)}(z), J_n(z)$ — первые функции Ганкеля и функции Бесселя с целыми индексами.

Примечания: 1. Перемещения и усилия для кольца обозначаются дополнительным индексом 1 внизу.

2. Перемещения и усилия в основном состоянии обозначаются дополнительным индексом 0 сверху.

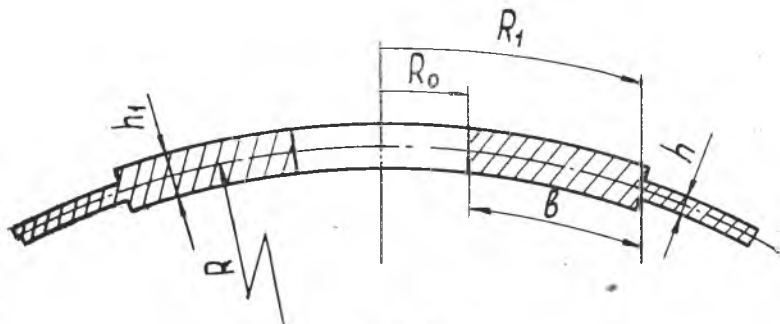
* * *

Первое исследование по концентрации напряжений в цилиндрической оболочке с малым круглым отверстием принадлежит А. И. Лурье [4], [5]. Примененный им метод разложения решения в ряд по степеням малого параметра использован рядом авторов и при решении контактных задач. В работах И. М. Пирогова [6], [7], [8] и в ряде других его статей исследуется напряженное состояние цилиндрической оболочки с малым круговым вырезом, подкрепленным упругим или жестким кольцом. Концентрация напряжений в окрестности жесткой шайбы на поверхности цилиндрической оболочки рассмотрена Ю. А. Шевляковым [15]. Влияние подкрепления малого отверстия тонким упругим кольцом исследовано Н. П. Флейшманом [12]. Этому же вопросу уделено много внимания в монографии Г. Н. Савина и Н. П. Флейшмана [11].

Автору известны лишь две работы, где контактная задача для цилиндрической оболочки с немалым круговым вырезом доведена до числовых результатов. В [3] Леккеркеркер рассмотрел напряженное состояние цилиндрической оболочки, сочлененной с поперечной трубой и нагруженной внутренним давлением. Ван-Дейк в [2] исследовал напряжения в цилиндрической оболочке с абсолютно жестким круглым включением при осевом растяжении и действии внутреннего давления. В обеих работах задачи решаются с применением периодических коэффициентов влияния. Для их подсчета в [3] получено решение дифференциального уравнения пологой цилиндрической оболочки в виде тригонометрических рядов в полярных координатах. В работе же [2] решение записано частично в полярных, частично в декартовых координатах на поверхности оболочки, вследствие чего граничные условия по контуру отверстия удовлетворялись методом точечной коллокации.

В настоящей статье исследуется напряженное состояние цилиндрической оболочки с круглым отверстием, подкрепленным широким кольцом, которое представляется как элемент оболочки. Рассматриваются случаи осевого растяжения и кручения оболочки, нагружение ее внутренним давлением.

Считается, что кольцо и оболочка имеют общую срединную поверхность (фиг. 2). Поскольку кольцо толще оболочки, то приближенно предполагается, что выражения для усилий и перемещений кольца записываются у линии сая так же, как и вдали от нее. Это допущение не должно существенно сказываться на напряженном состоянии оболочки и на напряжениях по внутреннему контуру кольца. Что же касается действительных напряжений в кольце по линии сая, то мы ими интересоваться не будем, так как они не превышают напряжений в оболочке.



Фиг. 2.

Напряженное состояние как оболочки, так и кольца можно условно разделить на основное и дополнительное. В основном состоянии внутренние усилия подсчитываются от заданной внешней нагрузки как для оболочки без отверстия. В дополнительном состоянии по внутреннему контуру кольца прикладываются усилия, равные по величине и обратные по направлению, соответствующим усилиям основного состояния. Кроме того, оболочка и кольцо нагружаются по линии сая силами взаимодействия между ними. Суммарные усилия должны обеспечить равенство перемещений кольца и оболочки по линии сая.

Для исследования дополнительного напряженного состояния используется дифференциальное уравнение тонкой пологой цилиндрической оболочки относительно комплексной функции $F(\xi, \eta)$ [5], которое в безразмерных координатах имеет вид

$$\nabla^2 \nabla^2 F + 8i\omega^2 \frac{\partial^2 F}{\partial \xi^2} = 0, \quad (1)$$

где

$$F = \omega + i\varphi, \quad \nabla^2 = \frac{\partial^2}{\partial \xi^2} + \frac{\partial^2}{\partial \eta^2}$$

$$\omega = \frac{1}{2} \sqrt{3(1-\mu^2)} \times \sqrt{\lambda}. \quad (2)$$

Поскольку рассматривается круглое отверстие, то целесообразно перейти к полярным на развертке цилиндра (полугеодезическим) координатам. Для достаточно длинной оболочки решение

уравнения (1), полученное Г. Н. Савиным и А. Н. Гузем [10], можно при симметричном или обратно-симметричном относительно ξ и η напряженном состоянии привести соответственно к виду [13]*

$$\begin{aligned} \bar{F}(\rho, \Theta) &= \sum_{\nu=0, 2, 4, \dots}^{\infty} \sum_{n=0}^{\infty} l_{\nu} i^{\nu} A_n^0 \bar{L}_{n\nu}(z) \cos \nu \Theta \\ \left(l_{\nu} &= \frac{1}{2} \text{ при } \nu = 0, l_{\nu} = 1 \text{ при } \nu \neq 0 \right) \\ \bar{F}^*(\rho, \Theta) &= \sum_{\nu=2, 4, 6, \dots}^{\infty} \sum_{n=1}^{\infty} i^{\nu} A_n^0 \bar{L}_{n\nu}^*(z) \sin \nu \Theta, \end{aligned} \quad (3)$$

где

$$\bar{L}_{n\nu}(z) = H_n^{(1)}(z) [J_{n-\nu}(z) + J_{n+\nu}(z)], \quad \bar{L}_{n\nu}^*(z) = H_n^{(1)}(z) [J_{n-\nu}(z) - J_{n+\nu}(z)].$$

$z = x \sqrt{2i}$, $x = \omega\rho$, A_n^0 — комплексные постоянные.

Положив

$$\bar{L}_{n\nu}(z) = \bar{\alpha}_{n\nu}(x) + i \bar{\beta}_{n\nu}(x), \quad \bar{L}_{n\nu}^*(z) = \bar{\alpha}_{n\nu}^*(x) + i \bar{\beta}_{n\nu}^*(x), \quad A_n^0 = A_n + i B_n,$$

можно в решениях (3) отделить действительную часть от мнимой. В итоге имеем

$$\begin{aligned} \bar{w}(\rho, \Theta) &= \sum_{\nu=0, 2, 4, \dots}^{\infty} l_{\nu} \bar{w}_{\nu}(x) \cos \nu \Theta, & \bar{\varphi}(\rho, \Theta) &= \sum_{\nu=0, 2, 4}^{\infty} l_{\nu} \bar{\varphi}_{\nu}(x) \cos \nu \Theta, \\ \bar{w}^*(\rho, \Theta) &= \sum_{\nu=2, 4, 6, \dots}^{\infty} \bar{w}_{\nu}^*(x) \sin \nu \Theta, & \bar{\varphi}^*(\rho, \Theta) &= \sum_{\nu=2, 4, 6, \dots}^{\infty} \bar{\varphi}_{\nu}^*(x) \sin \nu \Theta, \end{aligned} \quad (4)$$

где

$$\begin{aligned} \bar{w}_{\nu}(x) &= (-1)^{\nu/2} \sum_{n=0}^{\infty} [A_n \bar{\alpha}_{n\nu}(x) - B_n \bar{\beta}_{n\nu}(x)], \\ \bar{\varphi}_{\nu}(x) &= (-1)^{\nu/2} \sum_{n=0}^{\infty} [A_n \bar{\beta}_{n\nu}(x) + B_n \bar{\alpha}_{n\nu}(x)]. \end{aligned} \quad (5)$$

Для подсчета функций $\bar{w}_{\nu}^*(x)$ и $\bar{\varphi}_{\nu}^*(x)$ можно воспользоваться рядами типа (5), в которых следует заменить функции с черточками сверху на функции со звездочками, а суммирование по n вести от 1 до ∞ . Через функцию напряжений φ определяются усилия в срединной поверхности, а через перемещение w моменты и перерезывающие силы. Выражения для усилий и перемещений u и v , вытекающие из решений (3), приведены в [13].

Заметим, что для исследования напряженного состояния обо-

* Здесь и в дальнейшем звездочками сверху обозначаются все величины, относящиеся к обратно-симметричному относительно ξ и η напряженному состоянию, а черточками — к симметричному. В [13] приняты несколько иные обозначения: решение $\bar{F}(\rho, \Theta)$ обозначено через $F_2(\rho, \Theta)$, а $\bar{F}^*(\rho, \Theta)$ — через $F_4(\rho, \Theta)$.

лочки в решениях (3) дифференциального уравнения (1) удержаны лишь убывающие с ростом ρ члены. Для кольца же нужно учесть и возрастающие решения. Тогда имеем:

$$\bar{w}_1(\rho, \Theta) = a + \sum_{\nu=0, 2, 4, \dots}^{\infty} l_{\nu} \bar{w}_{1\nu}(x_1) \cos \nu\Theta,$$

$$\bar{\varphi}_1(\rho, \Theta) = \sum_{\nu=0, 2, 4, \dots}^{\infty} l_{\nu} \bar{\varphi}_{1\nu}(x_1) \cos \nu\Theta$$

$${}^* \bar{w}_{1\nu}(\rho, \Theta) = \sum_{\nu=2, 4, 6, \dots}^{\infty} {}^* \bar{w}_{1\nu}(x_1) \sin \nu\Theta, \quad {}^* \bar{\varphi}_1(\rho, \Theta) = \sum_{\nu=2, 4, 6, \dots}^{\infty} {}^* \bar{\varphi}_{1\nu}(x_1) \sin \nu\Theta, \quad (6)$$

где

$$\bar{w}_{1\nu}(x_1) = (-1)^{\nu/2} \sum_{n=0}^{\infty} [a_n \bar{\alpha}_{n\nu}(x_1) - b_n \bar{\beta}_{n\nu}(x_1) + c_n \bar{\sigma}_{n\nu}(x_1) - d_n \bar{\tau}_{n\nu}(x_1)],$$

$$\bar{\varphi}_{1\nu}(x_1) = (-1)^{\nu/2} \sum_{n=0}^{\infty} [a_n \bar{\beta}_{n\nu}(x_1) + b_n \bar{\alpha}_{n\nu}(x_1) + c_n \bar{\tau}_{n\nu}(x_1) + d_n \bar{\sigma}_{n\nu}(x_1)] \quad (7)$$

и т. д.

Константа a в выражении для \bar{w}_1 характеризует жесткое смещение кольца относительно оболочки, которое может иметь место при симметричном относительно ξ и η напряженном состоянии. Функции $\sigma_{n\nu}(x_1)$ и $\tau_{n\nu}(x_1)$ определяются из соотношений

$$J_n(z_1) [J_{n-\nu}(z_1) + J_{n+\nu}(z_1)] = \bar{\sigma}_{n\nu}(x_1) + i \bar{\tau}_{n\nu}(x_1),$$

$$J_n(z_1) [J_{n-\nu}(z_1) - J_{n+\nu}(z_1)] = {}^* \bar{\sigma}_{n\nu}(x_1) + i {}^* \bar{\tau}_{n\nu}(x_1),$$

где

$$z_1 = x_1 \sqrt{2i}, \quad x_1 = \omega_1 \rho.$$

Параметр ω_1 находится по формуле (2) после замены λ и μ на λ_1 и μ_1 . При $\mu_1 = \mu$ имеем

$$\omega_1 = \omega / \sqrt{\bar{h}}. \quad (8)$$

Функциям $\bar{F}_1(\rho, \Theta)$ и $\bar{F}_1^*(\rho, \Theta)$ соответствуют следующие внутренние усилия в сечениях кольца:

$$\bar{M}_{1\rho} = - \frac{x^2 E_1 R}{64 \omega_1^2 \lambda_1} \sum_{\nu=0, 2, 4, \dots}^{\infty} l_{\nu} \bar{M}_{1\rho\nu}(x_1) \cos \nu\Theta,$$

$$\bar{Q}_{1\rho}^* = - \frac{x E_1}{64 \omega_1 \lambda_1} \sum_{\nu=0, 2, 4, \dots}^{\infty} l_{\nu} \bar{Q}_{1\rho\nu}(x_1) \cos \nu\Theta,$$

$$\bar{N}_{1\rho} = - \frac{E_1}{8 \lambda_1 x_1} \sum_{\nu=0, 2, 4, \dots}^{\infty} l_{\nu} \bar{N}_{1\rho\nu}(x_1) \cos \nu\Theta,$$

$$\begin{aligned}
\bar{T}_{1\rho\theta} &= -\frac{E_1}{8\lambda_1 x_1} \sum_{\nu=2,4,6}^{\infty} \nu \bar{T}_{\nu}(x_1) \sin \nu\theta, \\
\bar{M}_{1\theta} &= -\frac{\alpha^2 E_1 R}{64 \omega_1^2 \lambda_1} \sum_{\nu=0,2,4,\dots}^{\infty} l_{\nu} \bar{M}_{1\theta\nu}(x_1) \cos \nu\theta, \\
\bar{H}_{1\rho\theta} &= \frac{\alpha^2 E_1 R (1-\mu)}{64 \omega_1^2 \lambda_1 x_1} \sum_{\nu=2,4,6,\dots}^{\infty} \nu \bar{H}_{1\nu}(x_1) \sin \nu\theta, \\
\bar{N}_{1\theta} &= -\frac{E_1}{8\lambda_1} \sum_{\nu=0,2,4,\dots}^{\infty} l_{\nu} \bar{N}_{1\theta\nu}(x_1) \cos \nu\theta, \\
\bar{M}_{1\rho}^* &= -\frac{\alpha^2 E_1 R}{64 \omega_1^2 \lambda_1} \sum_{\nu=2,4,6,\dots}^{\infty} \bar{M}_{1\rho\nu}^*(x_1) \sin \nu\theta, \\
\bar{Q}_{1\rho}^* &= -\frac{\alpha E_1}{64 \omega_1 \lambda_1} \sum_{\nu=2,4,6,\dots}^{\infty} \bar{Q}_{1\rho\nu}^*(x_1) \sin \nu\theta, \\
\bar{N}_{1\rho}^* &= -\frac{E_1}{8\lambda_1 x_1} \sum_{\nu=2,4,6,\dots}^{\infty} \bar{N}_{1\rho\nu}^*(x_1) \sin \nu\theta, \\
\bar{T}_{1\rho\theta}^* &= \frac{E_1}{8\lambda_1 x_1} \sum_{\nu=2,4,6,\dots}^{\infty} \nu \bar{T}_{1\nu}^*(x_1) \cos \nu\theta, \\
\bar{M}_{1\theta}^* &= -\frac{\alpha^2 E_1 R}{64 \omega_1^2 \lambda_1} \sum_{\nu=2,4,6,\dots}^{\infty} \bar{M}_{1\theta\nu}^*(x_1) \sin \nu\theta, \\
\bar{H}_{1\rho\theta}^* &= -\frac{\alpha^2 E_1 R (1-\mu)}{64 \omega_1^2 \lambda_1 x_1} \sum_{\nu=2,4,6,\dots}^{\infty} \nu \bar{H}_{1\nu}^*(x_1) \cos \nu\theta, \\
\bar{N}_{1\theta}^* &= -\frac{E_1}{8\lambda_1} \sum_{\nu=2,4,6,\dots}^{\infty} \bar{N}_{1\theta\nu}^*(x_1) \sin \nu\theta,
\end{aligned} \tag{9}$$

где*

$$\begin{aligned}
\bar{M}_{1\rho\nu}(x_1) &= (-1)^{\nu/2} \sum_{n=0}^{\infty} [a_n \bar{f}_1(x_1) - b_n \bar{f}_2(x_1) + c_n \bar{\psi}_1(x_1) - d_n \bar{\psi}_2(x_1)], \\
\bar{Q}_{1\rho\nu}(x_1) &= (-1)^{\nu/2} \sum_{n=0}^{\infty} [a_n \bar{f}_3(x_1) - b_n \bar{f}_4(x_1) + c_n \bar{\psi}_3(x_1) - d_n \bar{\psi}_4(x_1)], \\
\bar{N}_{1\rho\nu}(x_1) &= (-1)^{\nu/2} \sum_{n=0}^{\infty} [a_n \bar{f}_6(x_1) + b_n \bar{f}_5(x_1) + c_n \bar{\psi}_6(x_1) + d_n \bar{\psi}_5(x_1)],
\end{aligned}$$

* Во избежание громоздкости записи в обозначениях функций $f_1(x_1), f_2(x_1), \dots$ опущены дополнительные индексы $n\nu$.

$$\begin{aligned} \bar{T}_{1\nu}(x_1) &= (-1)^{\nu/2} \sum_{n=0}^{\infty} [a_n \bar{f}_8(x_1) + b_n \bar{f}_7(x_1) + c_n \bar{\psi}_8(x_1) + d_n \bar{\psi}_7(x_1)], \\ \bar{M}_{1\theta\nu}(x_1) &= (-1)^{\nu/2} \sum_{n=0}^{\infty} [a_n \bar{f}_9(x_1) - b_n \bar{f}_{10}(x_1) + c_n \bar{\psi}_9(x_1) - d_n \bar{\psi}_{10}(x_1)], \\ \bar{H}_{1\nu}(x_1) &= (-1)^{\nu/2} \sum_{n=0}^{\infty} [a_n \bar{f}_7(x_1) - b_n \bar{f}_8(x_1) + c_n \bar{\psi}_7(x_1) - d_n \bar{\psi}_8(x_1)], \\ \bar{N}_{1\theta\nu}(x_1) &= (-1)^{\nu/2} \sum_{n=0}^{\infty} [a_n \bar{f}_{12}(x_1) + b_n \bar{f}_{11}(x_1) + \\ &\quad + c_n \bar{f}_{12}(x_1) + d_n \bar{\psi}_{11}(x_1)]. \end{aligned} \quad (11)$$

Выражения, входящие в (11), определяются по формулам:

$$\begin{aligned} \bar{f}_1(x_1) &= \bar{\alpha}_{n\nu}(x_1) + \frac{\mu}{x_1} \bar{\alpha}'_{n\nu}(x_1) - \frac{\mu\nu^2}{x_1^2} \bar{\alpha}_{n\nu}(x_1), \\ \bar{f}_3(x_1) &= \bar{\alpha}''_{n\nu}(x_1) + \frac{1}{x_1} \bar{\alpha}''_{n\nu}(x_1) - \frac{1 + (2-\mu)\nu^2}{x_1^2} \bar{\alpha}'_{n\nu}(x_1) + \\ &\quad + \frac{(3-\mu)\nu^2}{x_1} \bar{\alpha}_{n\nu}(x_1), \\ \bar{f}_5(x_1) &= \bar{\alpha}'_{n\nu}(x_1) - \frac{\nu^2}{x_1} \bar{\alpha}_{n\nu}(x_1), \quad \bar{f}_7(x_1) = \bar{\alpha}_{n\nu}(x_1) - \frac{1}{x_1} \bar{\alpha}_{n\nu}(x_1), \\ \bar{f}_9(x_1) &= \mu \bar{\alpha}''_{n\nu}(x_1) + \frac{1}{x_1} \bar{\alpha}'_{n\nu}(x_1) - \frac{\nu^2}{x_1^2} \bar{\alpha}_{n\nu}(x_1), \quad \bar{f}_{11}(x_1) = \bar{\alpha}_{n\nu}(x_1). \end{aligned} \quad (12)$$

Штрихами здесь обозначены производные по x_1 . Функции с четными индексами $f_{2k}(x_1)$ подсчитываются по формулам для $f_{2k-1}(x_1)$, в которых $\bar{\alpha}_{n\nu}(x_1)$ заменяется на $\bar{\beta}_{n\nu}(x_1)$. Функции $\psi(x_1)$ находятся, как и $f(x_1)$ с соответствующими индексами, если заменить $\bar{\alpha}_{n\nu}(x_1)$ и $\bar{\beta}_{n\nu}(x_1)$ на $\bar{\sigma}_{n\nu}(x_1)$ и $\bar{\tau}_{n\nu}(x_1)$.

Выражения для подсчета $M_{1\theta\nu}^*(\rho)$, $N_{1\theta\nu}^*(\rho)$ и т. д. получаются из (11) и (12), если вести суммирование по n от 1 до ∞ , а вместо функций с черточками сверху подставить соответствующие функции со звездочками.

Внутренние усилия в сечениях оболочки \bar{M}_ρ^* , M_ρ^* , ... \bar{N}_θ^* , N_θ^* можно определить по формулам (9)–(12), в которых опускаются возрастающие функции $\psi(x)$, aE_1 , λ_1 , ω_1 , x_1 , a_n и b_n заменяются соответственно на E , λ , ω , x , A_n и B_n .

Можно показать, что внутренние усилия, определяемые (9)–(12), будучи приложенными по замкнутому контуру $\rho = \text{const}$, тождественно удовлетворяют всем уравнениям равновесия.

Как показано в [13], перемещения u и v точек срединной поверхности оболочки можно представить также рядами. Применительно к кольцу они имеют вид

$$\begin{aligned} \bar{u}_1(\rho, \Theta) &= \frac{\alpha x_1}{8\omega_1} \left[-4a(1 - \cos 2\Theta) + \sum_{\nu=0, 2, 4, \dots}^{\infty} \bar{l}_\nu \bar{u}_{1\nu}(x_1) \cos \nu\Theta \right], \\ \bar{v}_1(\rho, \Theta) &= \frac{\alpha x_1}{8\omega_1} \left[-4a \sin 2\Theta + \sum_{\nu=2, 4, 6, \dots}^{\infty} \bar{v}_{1\nu}(x_1) \sin \nu\Theta \right], \\ \bar{u}_1^*(\rho, \Theta) &= \frac{\alpha x_1}{8\omega_1} \sum_{\nu=2, 4, 6, \dots}^{\infty} \bar{u}_{1\nu}^*(x_1) \sin \nu\Theta, \\ \bar{v}_1^*(\rho, \Theta) &= -\frac{\alpha x_1}{8\omega_1} \left[c + \sum_{\nu=0, 2, 4, \dots}^{\infty} \bar{l}_\nu \bar{v}_{1\nu}^*(x_1) \cos \nu\Theta \right]. \end{aligned} \quad (13)$$

Для $\nu \geq 2$:

$$\begin{aligned} \bar{u}_{1\nu}(x_1) &= \frac{(-1)^{\nu/2}}{\sqrt{\nu^2 - 1}} \sum_{n=0}^{\infty} \{ a_n [\bar{s}_2(x_1) + \bar{s}_3(x_1)] + \\ &\quad + b_n [\bar{s}_1(x_1) - \bar{s}_4(x_1)] + \\ &\quad + c_n [\bar{r}_2(x_1) + \bar{r}_3(x_1)] + d_n [\bar{r}_1(x_1) - \bar{r}_4(x_1)] \}, \\ \bar{v}_{1\nu}(x_1) &= \frac{(-1)^{\nu/2}}{\sqrt{\nu^2 - 1}} \sum_{n=0}^{\infty} \{ a_n [(\bar{s}_6(x_1) + \bar{s}_7(x_1)) + b_n [\bar{s}_5(x_1) - \bar{s}_8(x_1)] + \\ &\quad + c_n [\bar{r}_6(x_1) + \bar{r}_7(x_1)] + d_n [\bar{r}_5(x_1) - \bar{r}_8(x_1)] \}, \end{aligned} \quad (14)$$

где

$$\begin{aligned} \bar{s}_1(x_1) &= -x_1 \bar{\alpha}_{n\nu}''''(x_1) + \frac{(2 + \mu)\nu^2 + 1 - \mu}{x_1} \bar{\alpha}_{n\nu}'(x_1) - \frac{3\nu^2}{x_1^2} \bar{\alpha}_{n\nu}(x_1), \\ \bar{s}_3(x_1) &= 4 \bar{\alpha}_{n\nu}(x_1) + 2(2\nu + 1) \bar{\alpha}_{n, \nu+2}(x_1) - 2(2\nu - 1) \bar{\alpha}_{n, \nu-2}(x_1) - \\ &\quad - 4x_1 \bar{\alpha}_{n\nu}'(x_1) + 2x_1 \bar{\alpha}_{n\nu+2}'(x_1) + 2x_1 \bar{\alpha}_{n, \nu-2}'(x_1), \\ \bar{s}_5(x_1) &= -\bar{s}_1(x_1) - (\nu^2 - 1) \left[\bar{\alpha}_{n\nu}''(x_1) - \frac{\mu}{x_1} \bar{\alpha}_{n\nu}'(x_1) + \frac{\mu\nu^2}{x_1^2} \bar{\alpha}_{n\nu}(x_1) \right], \\ \bar{s}_7(x_1) &= -\bar{s}_3(x_1) - 2(\nu^2 - 1) [2 \bar{\alpha}_{n\nu}(x_1) - \bar{\alpha}_{n, \nu+2}(x_1) - \bar{\alpha}_{n, \nu-2}(x_1)]. \end{aligned} \quad (15)$$

Чтобы получить формулы для возрастающих функций, нужно в (15) вместо $\bar{s}_{2k-1}(x_1)$ и $\bar{\alpha}_{n\nu}(x_1)$ подставить соответственно $\bar{r}_{2k-1}(x_1)$ и $\bar{\sigma}_{n\nu}(x_1)$. Заменой $\bar{s}_{2k-1}(x_1)$ и $\bar{\alpha}_{n\nu}(x_1)$ на $\bar{s}_{2k}(x_1)$, $\bar{\beta}_{n\nu}(x_1)$, а $\bar{r}_{2k-1}(x_1)$ и $\bar{\sigma}_{n\nu}(x_1)$ на $\bar{r}_{2k}(x_1)$ и $\bar{\tau}_{n\nu}(x_1)$ получаются выражения для определения функций с четными индексами. Ряды для $\bar{u}_{1\nu}^*(x_1)$ и $\bar{v}_{1\nu}^*(x_1)$ подсчитываются по формулам (14), (15), в которых суммирование по n следует вести от 1 до ∞ , а все функции с черточками сверху заменить на соответствующие функции со звездочками.

Для $\bar{u}_{1\nu}(x_1)$ при $\nu = 0$ имеем

$$\bar{u}_{1,0}(x_1) = \sum_{n=0}^{\infty} \{ a_n [s_{10}(x_1) + s_{11}(x_1)] + b_n [s_9(x_1) - s_{12}(x_1)] + c_n [r_{10}(x_1) + r_{11}(x_1)] + d_n [r_9(x_1) - r_{12}(x_1)] \}, \quad (16)$$

где

$$s_9(x_1) = -\bar{\alpha}_{n0}(x_1) + \frac{\mu}{x_1} \bar{\alpha}'_{n0}(x_1), \quad s_{11}(x_1) = 4 [\bar{\alpha}_{n2}(x_1) - \bar{\alpha}_{n0}(x_1)]. \quad (17)$$

Остальные величины, входящие в (16), получаются из (17) по указанной выше схеме.

Значения $\bar{v}_{1\nu}(x_1)$ для $\nu = 0$ определяются по формуле

$$\bar{v}_{1,0}(x_1) = -8 \sum_{n=1}^{\infty} [a_n s_{14}(x_1) + b_n s_{13}(x_1) + c_n r_{14}(x_1) + d_n r_{13}(x_1)]. \quad (18)$$

Здесь

$$s_{13}(x_1) = n \left[\frac{1}{\pi q_n} + \frac{1}{2x_1^2} \bar{\alpha}_{n0}(x_1) \right],$$

$$s_{14}(x_1) = \frac{n}{x_1^2} \left[\frac{1}{\pi} + \frac{1}{2} \bar{\beta}_{n0}(x_1) \right],$$

$$(q_n = 4 \text{ при } n = 1, \quad q_n = n^2 - 1 \text{ при } n \neq 1)$$

$$r_{13}(x_1) = \frac{n}{2x_1^2} \bar{\sigma}_{n0}(x_1), \quad r_{14}(x_1) = \frac{n}{2x_1^2} \bar{\tau}_{n0}(x_1). \quad (19)$$

Константа c в (13) характеризует жесткое вращение кольца относительно оси, проходящей через начало координат и нормальной к срединной поверхности оболочки. Появляется она при интегрировании геометрических соотношений.

Перемещения точек срединной поверхности оболочки u и v можно найти по формулам (13)–(19), в которых отбрасываются возрастающие функции, а x_1 , ω_1 , a_n и b_n заменяются соответственно на x , ω , A_n и B_n . Постоянные a и c в (13) при этом следует считать равными нулю.

Перемещения, определяемые выражениями (13)–(19), тождественно удовлетворяют условиям однозначности.

Для симметричного относительно ξ и η напряженного состояния граничные условия имеют вид:

а) по линии спая, при $\rho = 1$,

$$\begin{aligned} \bar{M}_{1\rho} &= \bar{M}_\rho, \quad \bar{Q}_{1\rho}^* = \bar{Q}_\rho^*, \quad \bar{N}_{1e} = \bar{N}_\rho, \quad \bar{T}_{1e\theta} = \bar{T}_{e\theta}, \\ \bar{w}_1 + w_1^0 &= \bar{w} + w^0, \quad \frac{\partial \bar{w}_1}{\partial \rho} = \frac{\partial \bar{w}}{\partial \rho}, \quad \bar{u}_1 + u_1^0 = \bar{u} + u^0, \\ \bar{v}_1 + v_1^0 &= \bar{v} + v^0; \end{aligned} \quad (20)$$

б) по внутреннему контуру кольца, при $\rho = \rho_0 = \frac{R_0}{R_1}$,
 $\bar{M}_{1\rho} + M_{1\rho}^0 = 0, \bar{Q}_{1\rho} + Q_{1\rho}^0 = 0, \bar{N}_{1\rho} + N_{1\rho}^0 = 0, \bar{T}_{1\rho\theta} + T_{1\rho\theta}^0 = 0. (21)$

В (20) учтено, что для основного состояния соответствующие усилия в кольце и оболочке равны между собой.

При практических расчетах можно в выражениях для усилий и перемещений дополнительного состояния перейти от бесконечных рядов к усеченным, ограничив суммирование до $n = \nu = k$, где k зависит от степени сходимости решения. В этом случае, полагая материалы кольца и оболочки одинаковыми ($E_1 = E, \mu_1 = \mu$), получим для определения постоянных, на основании (20) и (21), следующую систему линейных алгебраических уравнений:

1. $\bar{M}_{\rho\nu}(\omega) - \left(\frac{\omega}{\omega_1}\right)^4 \bar{M}_{1\rho\nu}(\omega_1) = 0 \quad (\nu = 0, 2, 4 \dots k)$
2. $\bar{Q}_{\rho\nu}(\omega) - \left(\frac{\omega}{\omega_1}\right)^3 \bar{Q}_{1\rho\nu}(\omega_1) = 0 \quad ,,$
3. $\bar{N}_{\rho\nu}(\omega) - \left(\frac{\omega}{\omega_1}\right)^3 \bar{N}_{1\rho\nu}(\omega_1) = 0 \quad (\nu = 2, 4, 6 \dots k)$
4. $\bar{T}_{\nu}(\omega) - \left(\frac{\omega}{\omega_1}\right)^3 \bar{T}_{1\nu}(\omega_1) = 0 \quad ,,$
5. $\bar{w}_{\nu}(\omega) - \bar{w}_{1\nu}(\omega_1) - 2\bar{\gamma}_{\nu} a = \hat{w}_{\nu} \quad (\nu = 0, 2, 4 \dots k)$
6. $\bar{w}'_{\nu}(\omega) - \frac{\omega_1}{\omega} \bar{w}'_{1\nu}(\omega_1) = 0 \quad ,,$
7. $\bar{u}_{\nu}(\omega) - \bar{u}_{1\nu}(\omega_1) + 4\bar{\gamma}_{\nu} a = \hat{u}_{\nu} \quad (\nu = 0, 2, 4 \dots k)$
8. $\bar{v}_{\nu}(\omega) - \bar{v}_{1\nu}(\omega_1) - 4\bar{\gamma}_{\nu} a = \hat{v}_{\nu} \quad (\nu = 2, 4, 6 \dots k)$
9. $\bar{M}_{1\rho\nu}(\omega_2) = \hat{M}_{\nu}, \quad 10. \bar{Q}_{1\rho\nu}(\omega_2) = \hat{Q}_{\nu} \quad (\nu = 0, 2, 4 \dots k)$
11. $\bar{N}_{1\rho\nu}(\omega_2) = \hat{N}_{\nu}, \quad 12. \bar{T}_{1\nu}(\omega_2) = \hat{T}_{\nu} \quad (\nu = 2, 4, 6 \dots k) (22)$

Здесь $\omega_2 = \omega_1 \rho_0$

$$\bar{\gamma}_{\nu} = 1 \text{ при } \nu = 0, \quad \bar{\gamma}_{\nu} = 0 \text{ при } \nu \neq 0$$

$$\bar{\gamma}_{\nu} = 2 \text{ при } \nu = 0, \quad \bar{\gamma}_{\nu} = -1 \text{ при } \nu = 2, \quad \bar{\gamma}_{\nu} = 0 \text{ при } \nu > 2$$

Строго говоря, уравнения типа 3 и 11 в (22) следует записать и для $\nu = 0$. Однако, как показали проведенные исследования, уравнения 2—0, 3—0, 3—2, 4—2 (вторая цифра характеризует индекс ν) оказываются линейно зависимыми. Линейно зависимыми являются и левые части уравнений 10—0, 11—0, 11—2 и 12—2.

При этом между правыми частями должно соблюдаться соотношение

$$\hat{Q}_0 - 4\hat{N}_0 + 4\hat{N}_2 - 8\hat{T}_2 = 0, \quad (23)$$

которое вытекает и из равенства нулю главного вектора усилий, действующих по краю отверстия в основном состоянии. В итоге система (22) содержит $6k+7$ линейно независимых уравнений с таким же числом неизвестных.

Если напряженное состояние обратно-симметрично относительно ξ и η , то в граничных условиях (20) и (21) следует величины с черточками заменить на соответствующие величины со звездочками. Система уравнений для определения постоянных ($E_1 = E$, $\mu_1 = \mu$) примет при этом вид:

$$\begin{aligned} 1. \overset{*}{M}_{\rho\nu}(\omega) - \left(\frac{\omega}{\omega_1}\right)^4 \overset{*}{M}_{1\rho\nu} &= 0, & 2. \overset{*}{Q}_{\rho\nu}(\omega) - \left(\frac{\omega}{\omega_1}\right)^3 \overset{*}{Q}_{1\rho\nu}(\omega_1) &= 0, \\ 3. \overset{*}{N}_{\rho\nu}(\omega) - \left(\frac{\omega}{\omega_1}\right)^3 \overset{*}{N}_{1\rho\nu}(\omega_1) &= 0, & 4. \overset{*}{T}_\nu(\omega) - \left(\frac{\omega}{\omega_1}\right)^3 \overset{*}{T}_{1\nu}(\omega_1) &= 0, \\ 5. \overset{*}{w}_\nu(\omega) - \overset{*}{w}_{1\nu}(\omega_1) &= 0, & 6. \overset{*}{w}'_\nu(\omega) - \frac{\omega_1}{\omega} \overset{*}{w}'_{1\nu}(\omega_1) &= 0, \\ 7. \overset{*}{u}_\nu(\omega) - \overset{*}{u}_{1\nu}(\omega_1) &= \hat{u}_\nu, & 8. \overset{*}{v}_\nu(\omega) - \overset{*}{v}_{1\nu}(\omega_1) - \overset{*}{\gamma}_\nu c &= \hat{v}_\nu, \\ 9. \overset{*}{M}_{1\rho\nu}(\omega_2) &= 0, & 10. \overset{*}{Q}_{1\rho\nu}(\omega_2) &= 0, \\ 11. \overset{*}{N}_{1\rho\nu}(\omega_2) &= \hat{N}_\nu, & 12. \overset{*}{T}'_{1\nu}(\omega_2) &= \hat{T}'_\nu, \end{aligned} \quad (24)$$

где $\overset{*}{\gamma}'_\nu = 2$ при $\nu = 0$, $\overset{*}{\gamma}'_\nu = 0$ при $\nu \neq 0$.

Для всех типов уравнений системы (24), кроме 8-го, нужно положить $\nu = 2, 4, 6, \dots k$. В уравнениях же типа 8 следует дополнительно принять $\nu = 0$.

а) *Осевое растяжение оболочки.* По торцам достаточно длинной оболочки приложены равномерно распределенные нормальные силы N . В основном состоянии имеем

$$\begin{aligned} N_{1\theta}^\circ &= N_\theta^\circ = \frac{N}{2}(1 + \cos 2\theta), & N_{1\theta}^\circ &= N_\theta^\circ = \frac{N}{2}(1 - \cos 2\theta), \\ T_{1\theta\theta}^\circ &= T_{\rho\theta}^\circ = -\frac{N}{2} \sin 2\theta. \end{aligned} \quad (25)$$

Перемещения точек срединной поверхности кольца по линии спая будут равны

$$\overset{\circ}{w}_1 = -\mu \frac{\lambda_1 N}{E}, \quad \overset{\circ}{u}_1 = \frac{\nu \lambda_1 N}{2E}(1 + \cos 2\theta), \quad \overset{\circ}{v}_1 = -\frac{\nu \lambda_1 N}{2E} \sin 2\theta. \quad (26)$$

Заменяв здесь λ_1 на λ , получим перемещения оболочки. Для правых частей системы (22) имеем

$$\begin{aligned} \hat{w}_0 &= -\frac{\mu}{2} \hat{u}_2, \quad \hat{w}_\nu = 0 \text{ при } \nu \neq 0, \quad \hat{M}_\nu = \hat{Q}_\nu = 0, \\ \hat{u}_0 &= 2\hat{u}_2, \quad \hat{u}_2 = -4 \left[1 - \left(\frac{\omega_1}{\omega} \right)^2 \right] \frac{\lambda N}{E}, \quad \hat{v}_2 = -\hat{u}_2, \quad \hat{u}_\nu = \hat{v}_\nu = 0 \text{ при } \nu > 2, \\ \hat{N}_0 &= 2\hat{N}_2, \quad \hat{N}_2 = 4\omega_2 \left(\frac{\omega_1}{\omega} \right)^2 \frac{\lambda N}{E}, \quad \hat{T}_2 = -\frac{1}{2} \hat{N}_2, \quad \hat{N}_\nu = \hat{T}_\nu = 0 \text{ при } \nu > 2. \end{aligned} \quad (27)$$

б) Действие внутреннего давления. Оболочка с дном нагружена внутренним давлением p . Предполагается, что отверстие закрыто крышкой, передающей на кольцо поперечную нагрузку $q_0 = \frac{pR_0}{2}$, равномерно распределенную по контуру отверстия. В основном состоянии имеет место

$$\begin{aligned} N_{1\varphi}^0 &= N_\varphi^0 = \frac{pR}{4} (3 - \cos 2\Theta), \quad N_{1\Theta}^0 = N_\Theta^0 = \frac{pR}{4} (3 + \cos 2\Theta), \\ \Gamma_{1\varphi\Theta}^0 &= \Gamma_{\varphi\Theta}^0 = \frac{pR}{4} \sin 2\Theta. \end{aligned} \quad (28)$$

Перемещения точек срединной поверхности кольца запишутся при этом в виде

$$\begin{aligned} w_1^0 &= \frac{(2-\mu)\lambda_1 pR}{2E}, \quad u_1^0 = \frac{(1-2\mu)\lambda\lambda_1 pR}{4E} (1 + \cos 2\Theta), \\ v_1^0 &= \frac{(1-2\mu)\lambda\lambda_1 pR}{4E} \sin 2\Theta. \end{aligned} \quad (29)$$

Для оболочки по линии спая перемещения получаются из (29) заменой λ_1 на λ . Правые части системы (22) в этом случае равны

$$\begin{aligned} \hat{w}_0 &= \frac{2-\mu}{2(1-2\mu)} \hat{u}_2, \quad \hat{Q}_0 = -32\hat{N}_2, \quad \hat{w}_\nu = \hat{Q}_\nu = 0 \text{ при } \nu \neq 0, \quad \hat{M}_\nu = 0, \\ \hat{u}_0 &= 2\hat{u}_2, \quad \hat{u}_2 = -2(1-2\mu) \left[1 - \left(\frac{\omega_1}{\omega} \right)^2 \right] \frac{\lambda pR}{E}, \quad \hat{v}_2 = -\hat{u}_2, \quad \hat{u}_\nu = \hat{v}_\nu = 0 \\ &\text{при } \nu > 2, \\ \hat{N}_0 &= -6\hat{N}_2, \quad \hat{N}_2 = -2\omega_2 \left(\frac{\omega_1}{\omega} \right)^2 \frac{\lambda pR}{E}, \quad \hat{T}_2 = -\frac{1}{2} \hat{N}_2, \quad \hat{N}_\nu = \hat{T}_\nu = 0 \\ &\text{при } \nu > 2. \end{aligned} \quad (30)$$

в) Кручение оболочки. По торцам оболочки приложены равномерно распределенные касательные силы T , создающие крутящий момент $M_k = 2\pi R^2 T$. В основном состоянии получим

$$N_{1\varphi}^0 = N_\varphi^0 = T \sin 2\Theta, \quad N_{1\Theta}^0 = N_\Theta^0 = -T \sin 2\Theta, \quad \Gamma_{1\varphi\Theta}^0 = \Gamma_{\varphi\Theta}^0 = T \cos 2\Theta. \quad (31)$$

Этим усилиям соответствуют перемещения кольца по линии спая

$$w_1^0 = 0, \quad u_1^0 = \frac{(1+\mu)\lambda\lambda_1 T}{E} \sin 2\Theta, \quad v_1^0 = \frac{(1+\mu)\lambda\lambda_1 T}{E} \cos 2\Theta, \quad (32)$$

а правые части системы (24) имеют вид

$$\hat{u}_2 = -8(1+\mu) \left[1 - \left(\frac{\omega_1}{\omega} \right)^2 \right] \frac{\lambda T}{E}, \quad \hat{v}_2 = -\hat{u}_2, \quad \hat{u}_\nu = \hat{v}_\nu = 0 \quad \text{при } \nu \neq 2.$$

$$\hat{N}_2 = 8\omega_2 \left(\frac{\omega_1}{\omega} \right)^2 \frac{\lambda T}{E}, \quad \hat{T}_2 = -\frac{1}{2} \hat{N}_2, \quad \hat{N}_\nu = \hat{T}_\nu = 0 \quad \text{при } \nu \neq 2. \quad (33)$$

Для дальнейших рассуждений удобно ввести параметр

$$\omega_0 = \frac{1}{2} \sqrt[4]{3(1-\mu^2)} \times_0 \sqrt{\lambda}, \quad (34)$$

который характеризует оболочку с неподкрепленным отверстием радиуса R_0 . Обозначим, далее, через b_0 ширину кольца, найденную для заданного значения \bar{h} по так называемому «правилу площадей» (из условия равенства площадей поперечного сечения оболочки с подкрепленным отверстием при $\xi=0$ и оболочки без отверстия). Имеем:

$$b_0 = \frac{R_0}{\bar{h} - 1}, \quad (35)$$

Рассмотренные выше задачи были запрограммированы и просчитаны на ЭВМ «Урал-2»*. Коэффициент Пуассона μ принимался равным 0,3. В этом случае

$$\omega_0 = 0,6427 \times_0 \sqrt{\lambda} = 0,6427 \frac{R_0}{\sqrt{Rh}}. \quad (36)$$

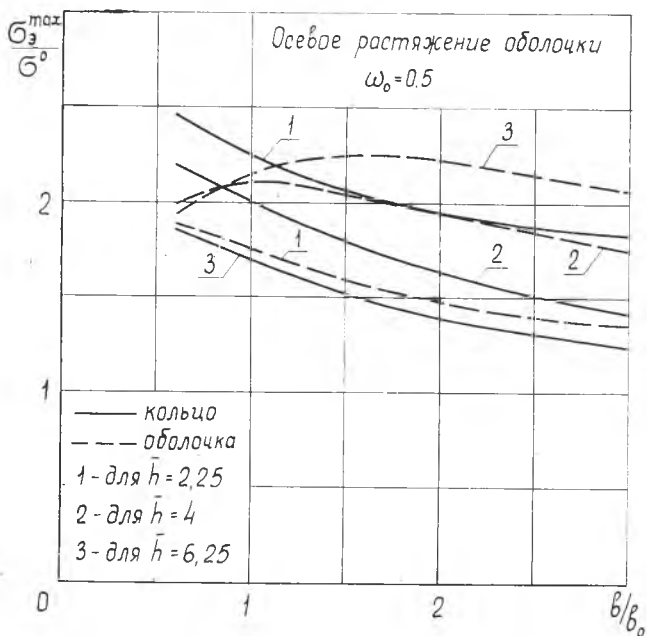
Параметр ω_0 изменялся в пределах от 0,5 до 3, относительная толщина кольца \bar{h} изменялась от 2,25 до 9, а его относительная ширина $\bar{b} = \frac{b}{b_0}$ — от 0,6 до 3. Вычисления проводились с удержанием в решениях (4) и (6) различного числа гармоник. Для $\omega_0 = 0,5$ достаточная точность расчета получилась уже при $k = \nu_{\max} = 4$, а для $\omega_0 = 3$ это наблюдалось при $k = 8$. Более детально вопрос о сходимости решений типа (4) освещен в работе автора [14].

В процессе расчета вычислялись компоненты напряжения в оболочке по линии спая и напряжения по внутреннему контуру кольца. Поскольку в оболочке действуют изгибные и мембранные напряжения σ_θ , σ_θ и $\tau_{\theta\theta}$, то для оценки ее напряженного состояния подсчитывались по 3-ей теории прочности (теории наибольших касательных напряжений) эквивалентные напряжения σ_θ . На внутреннем контуре кольца имеет место одноосное напряженное состояние, вследствие чего здесь $\sigma_\theta = \sigma_\theta^N \pm \sigma_\theta^M$. Результаты расчета представлены в виде безразмерных величин, т. е. как отношение наибольших эквивалентных напряжений σ_θ^{\max} , действующих в оболочке или в кольце, к характерным напряжениям для оболочки без отверстия при тех же внешних нагрузках.

* Программирование задач и вычисления на ЭВМ выполнены инженером Г. В. Кановой.

При осевом растяжении напряжения относились к $\sigma^{\circ} = \frac{N}{h}$, при действии внутреннего давления — к $\sigma^{\circ} = \frac{pR}{h}$, при кручении оболочки — к $\tau^{\circ} = \sigma^{\circ} = \frac{T}{h}$.

Влияние относительной ширины кольца \bar{b} на напряженное состояние кольца и оболочки при различных значениях ω_0 и \bar{h} показано для случая осевого растяжения на фиг. 3—6. Штриховые линии соответствуют σ_3^{\max} в оболочке по линии спая, а сплош-

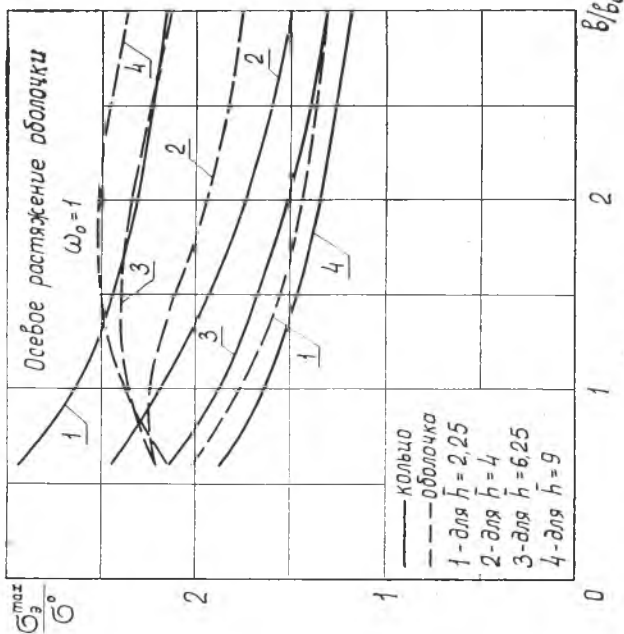


Фиг. 3.

ные — по внутреннему контуру кольца. Эквивалентные напряжения в оболочке достигают максимума при $\Theta = 45-55^\circ$, в кольце же — при $\Theta = 90^\circ$. Нагрузению оболочки внутренним давлением соответствуют кривые на фиг. 7—10. Наиболее напряженная точка оболочки находится, как правило, при $\Theta = 40-50^\circ$, однако для больших ω_0 она смещается к $\Theta = 0$. Для кольца здесь $\Theta = 0$. На фиг. 11—14 даны аналогичные графики для кручения оболочки. В оболочке по линии спая σ_3^{\max} имеет место при $\Theta = 90^\circ$, а по внутреннему контуру кольца — при $\Theta = 45-50^\circ$.

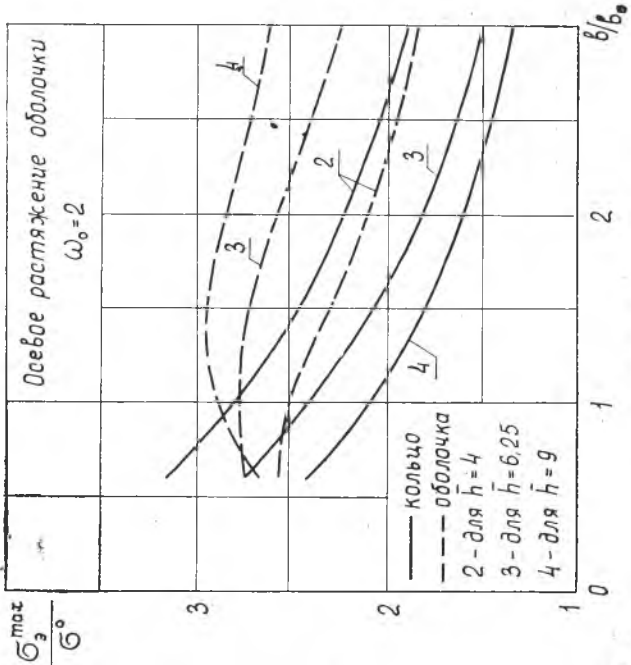
Из приведенных графиков видно, что с увеличением \bar{b} напряжения в кольце существенно падают. Падают, как правило, и на-

$\frac{\sigma_3^{\max}}{\sigma_0}$

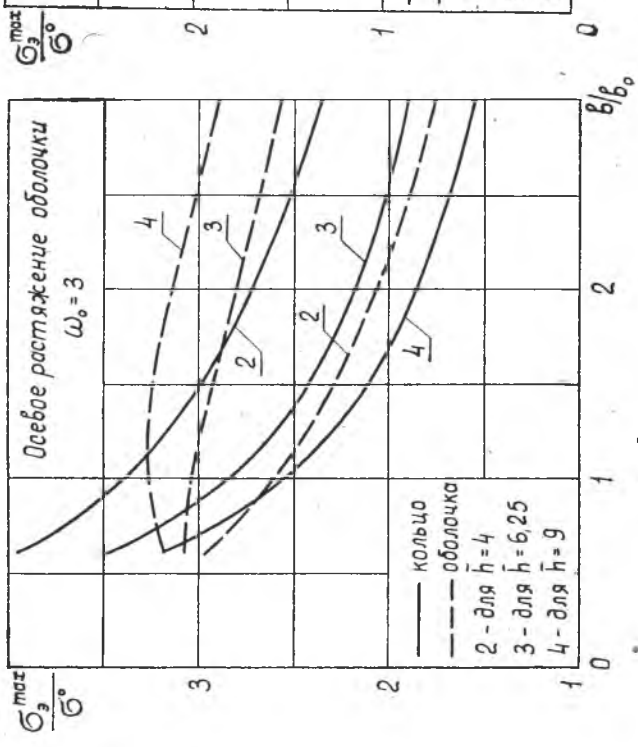


Фиг. 4.

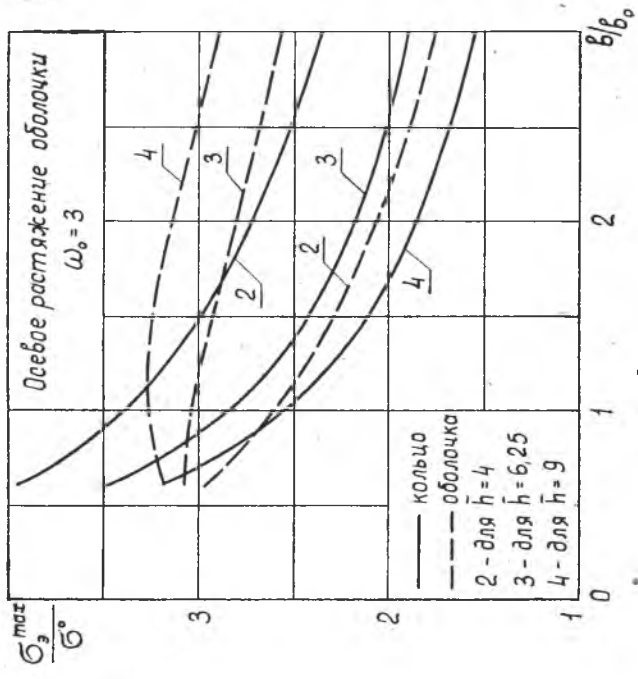
$\frac{\sigma_3^{\max}}{\sigma_0}$



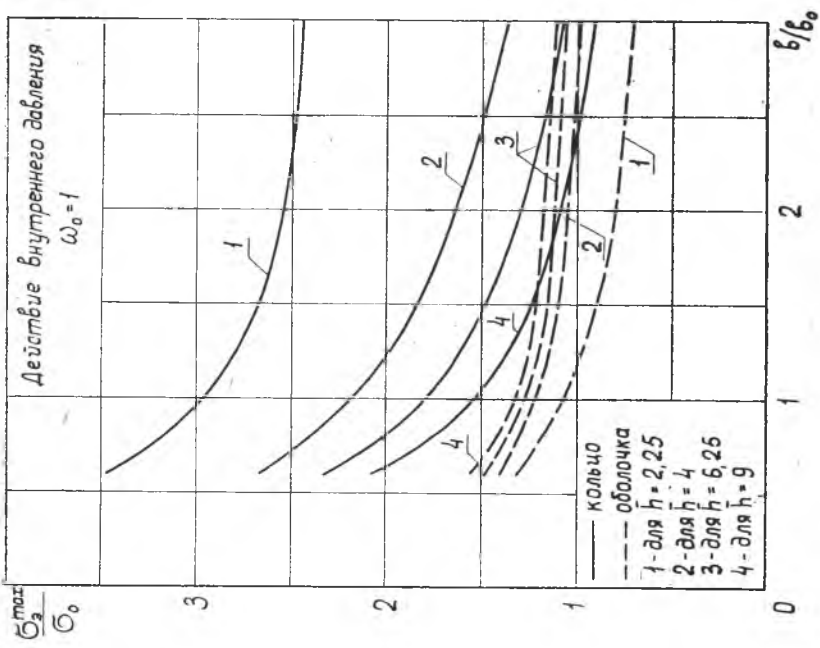
Фиг. 5.



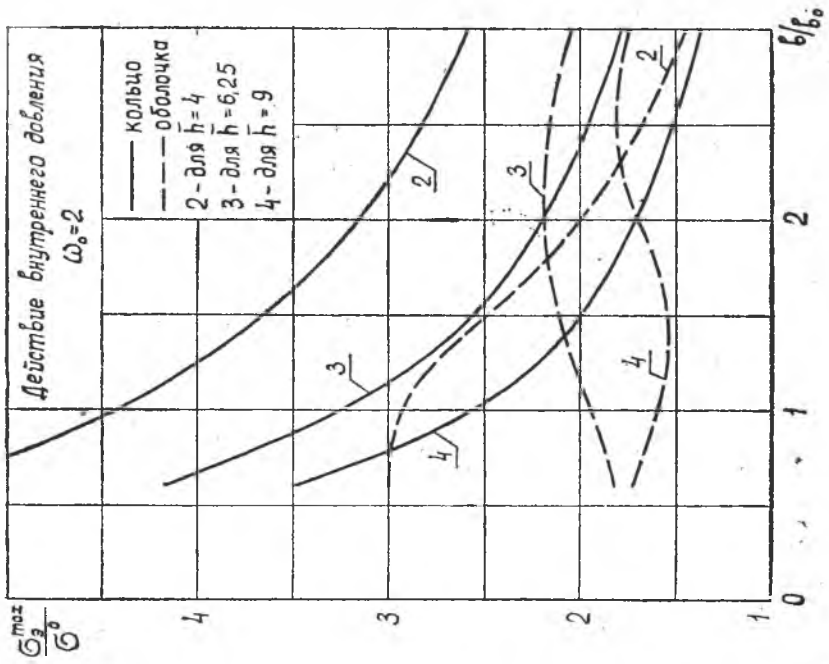
Фиг. 7.



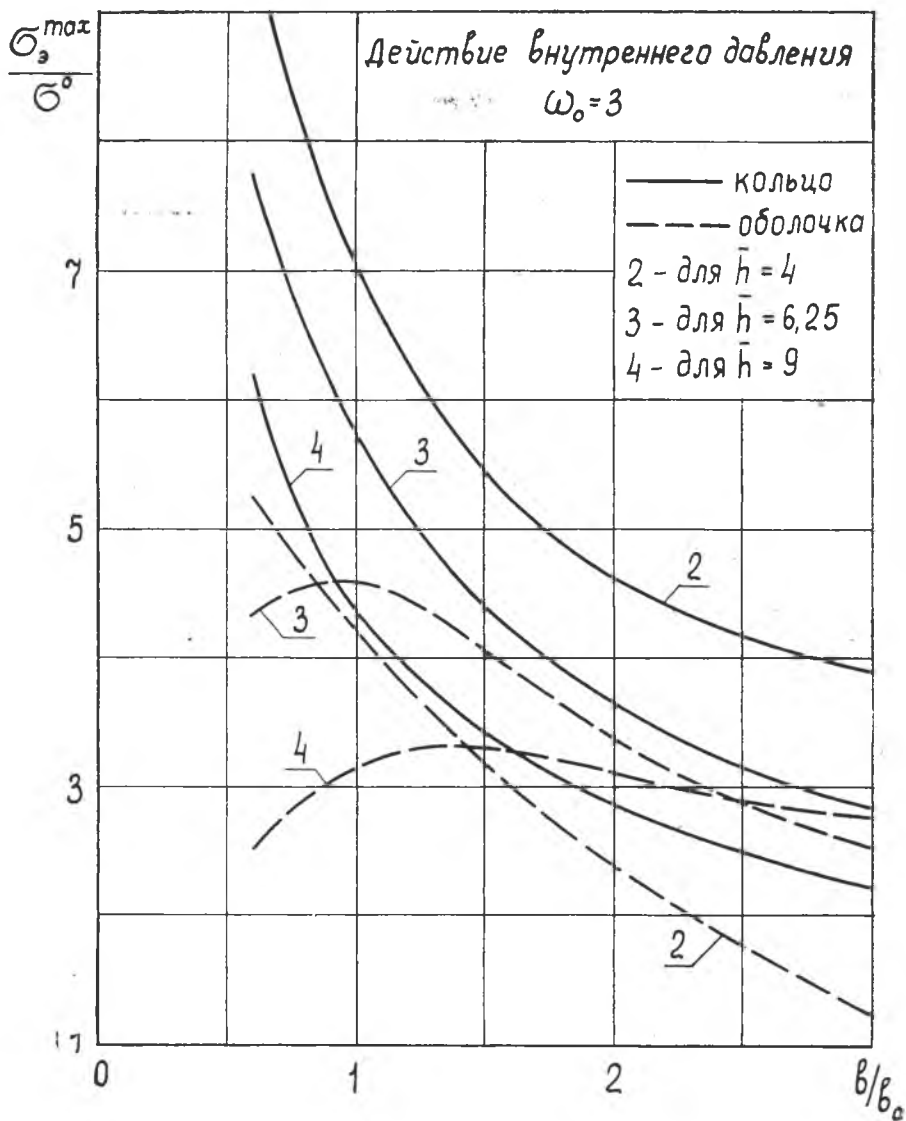
Фиг. 6.



Фиг. 8.



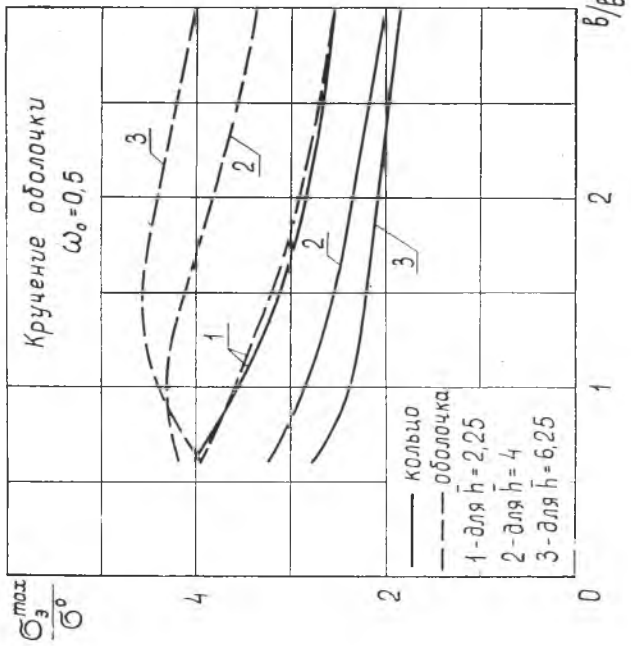
Фиг. 9.



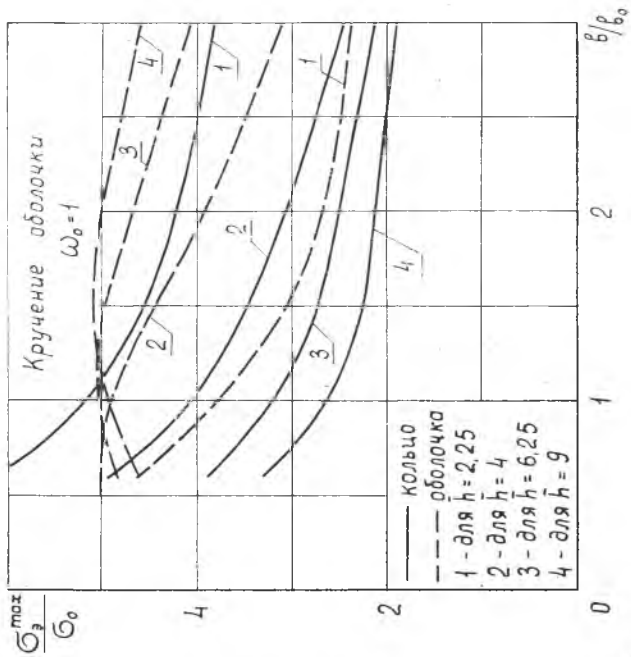
Фиг. 10.

пряжения в оболочке, но при небольших \bar{b} иногда наблюдается некоторый рост.

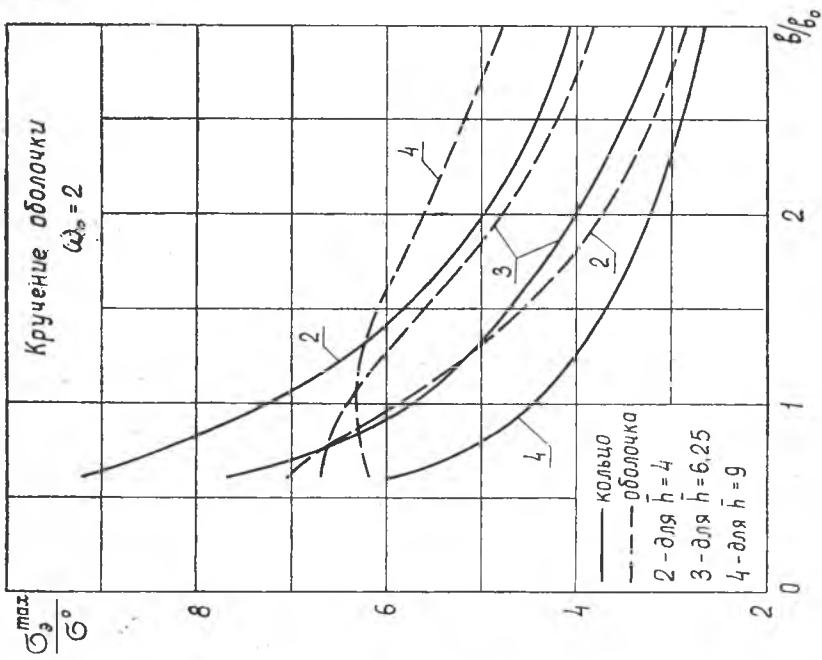
С увеличением ω_0 коэффициент концентрации напряжений как для оболочки, так и для кольца существенно растет, особенно при кручении и действии внутреннего давления. Это наглядно видно



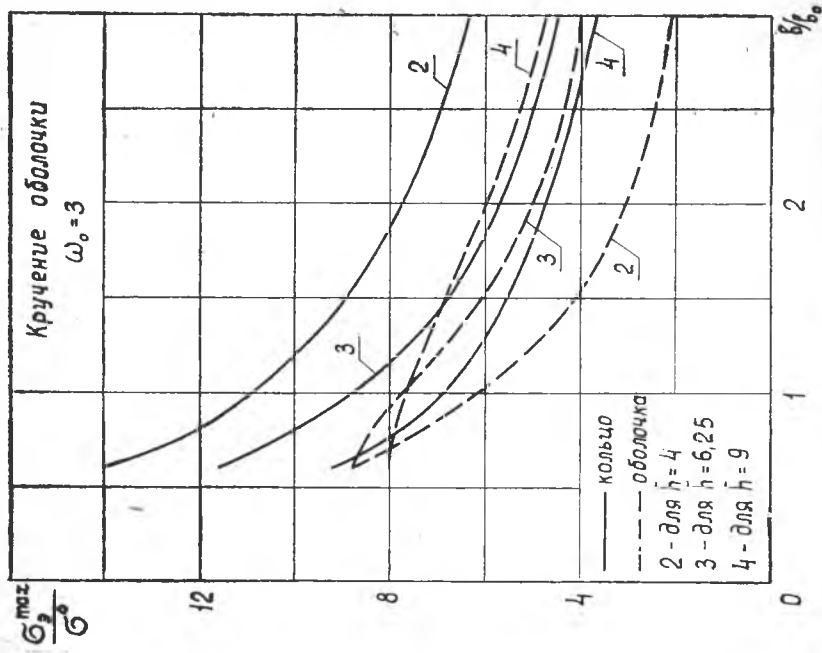
Фиг. 11.



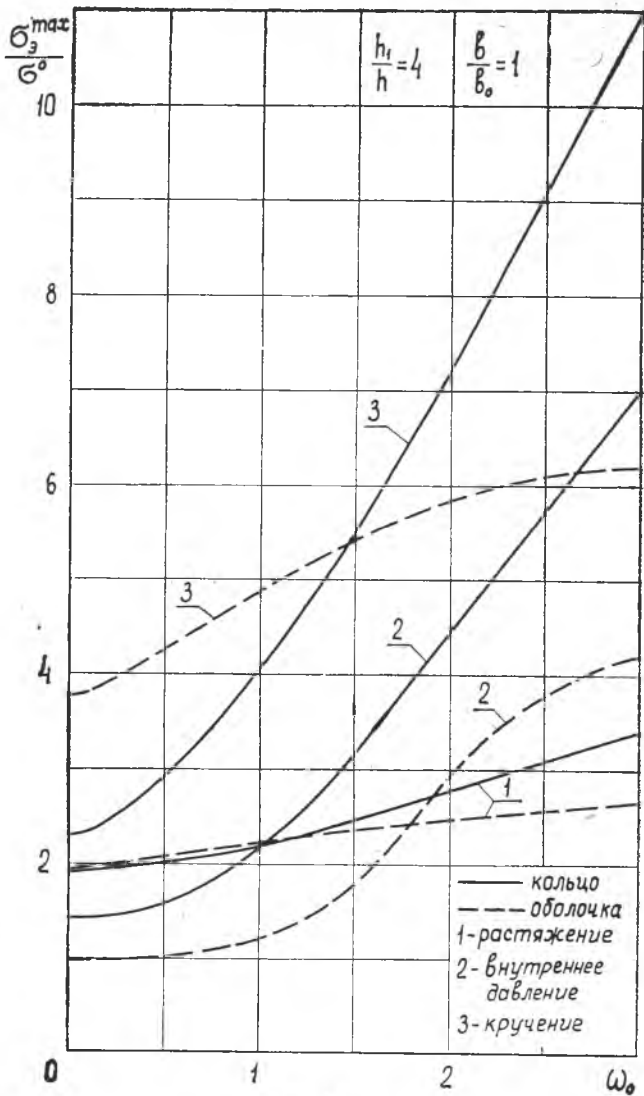
Фиг. 12.



Фиг. 13.



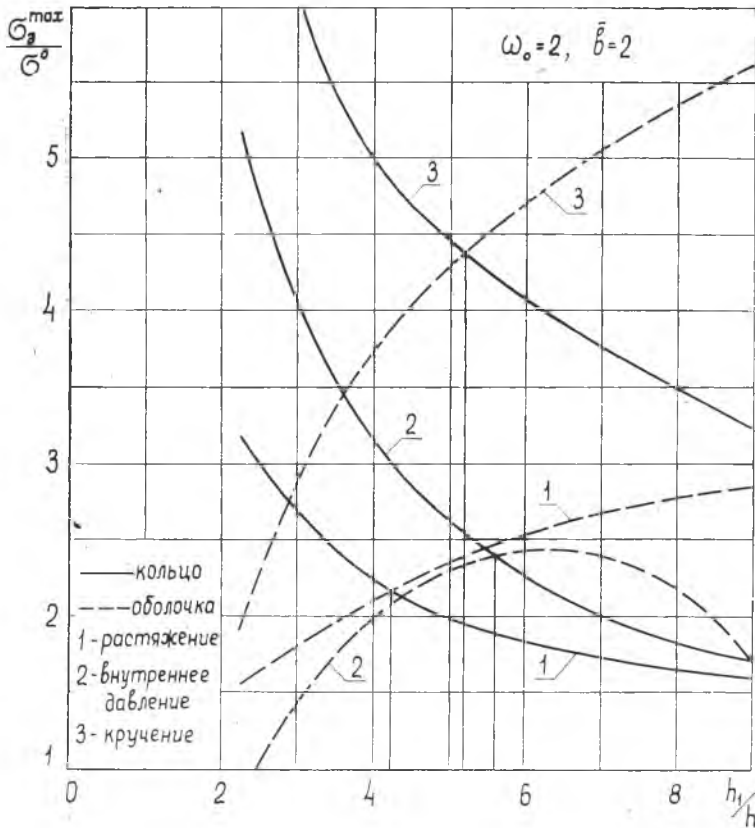
Фиг. 1.



из фиг. 15, построенной для $\bar{h}=4$ и $\bar{b}=1$. Точки для $\omega_0=0$ (плоская пластина) получены здесь с использованием формул работы [9], в которых отношение модулей упругости материалов заменялось отношением толщины кольца и пластины.

Приведенные на фиг. 3—14 результаты показывают, что увеличение относительной толщины кольца \bar{h} при фиксированной

площади его сечения ($\bar{b} = \text{const}$) снижает напряжения в кольце, но может привести к заметному повышению напряжений в оболочке. В качестве примера на фиг. 16 показано изменение σ_a^{max} в оболочке и в кольце в зависимости от \bar{h} при $\omega_0 = 2$ и $\bar{b} = 2$. Для случая осевого растяжения наиболее выгодной оказывается здесь



Фиг. 16.

относительная толщина $\bar{h} = 4,25$, при которой наблюдается равенство максимальных эквивалентных напряжений в оболочке и в кольце. По сравнению с обкантованным отверстием радиуса R_0 коэффициент концентрации напряжений снижается при этом в 3,45 раза*. Значение $\bar{h} = 5,6$ обеспечивает равнопрочность кольца и оболочки при нагружении внутренним давлением, а $\bar{h} = 5,2$ — при кручении оболочки. По сравнению с неокантованным вырезом

* Значения коэффициентов концентрации напряжений для оболочки с неокантованным отверстием взяты из работы [4].

здесь имеет место снижение коэффициента концентрации напряжений соответственно в 4,85 раза и в 5,95 раза.

Таким образом, приведенные в настоящей статье результаты исследований позволяют оценить эффективность подкреплений круговых вырезов в цилиндрических оболочках, позволяют выбрать оптимальные с точки зрения веса и равнопрочности подкрепления и могут быть использованы в инженерной практике.

ЛИТЕРАТУРА

1. А. Я. Александров, М. Х. Ахметзянов, А. С. Ракип. Исследование упруго-пластического деформирования оболочек с вырезами и усилениями методом фотоупругих покрытий. Прикладная механика, т. II, вып. 3, Киев, 1966.
2. Ван-Дейк. Напряжения в цилиндрической оболочке с абсолютно жестким включением. Ракетная техника и космонавтика. АЖАА, русский перевод, т. 5, № 1, 1967.
3. Lekkerkerker J. G. On the stress distribution in cylindrical shells weakened by a circular hole. Uitgeverij Waltman, Delft, 1965.
4. А. И. Лурье. Концентрация напряжений в области отверстия на поверхности кругового цилиндра. ПММ, т. 10, вып. 3, 1946.
5. А. И. Лурье. Статика тонкостенных оболочек. Гостехиздат, 1947.
6. И. М. Пирогов. Концентрация напряжений в области жесткого кольца на поверхности кругового цилиндра. Сб. статей Всесоюзного заочного политехнического института, в. 16, Москва, 1957.
7. И. М. Пирогов. Концентрация напряжений в области подкрепленного отверстия на поверхности цилиндрической оболочки. Изв. АН СССР, ОТН, «Механика и машиностроение», № 3, 1960.
8. И. М. Пирогов. Напряженное состояние в цилиндрической оболочке с подкрепленным отверстием, Изв. АН СССР, ОТН, «Механика и машиностроение», № 6, 1960.
9. Г. Н. Савин. Концентрация напряжений около отверстий. Гос. издат. технико-теор. лит., Москва — Ленинград, 1951.
10. Г. Н. Савин, А. Н. Гузь. К вопросу о концентрации напряжений около отверстий в цилиндрической оболочке. Доповіді АН УРСР, № 11, 1964.
11. Г. Н. Савин, Н. П. Флейшман. Пластинки и оболочки с ребрами жесткости. «Наукова думка», Киев, 1964.
12. Н. П. Флейшман. Влияние подкрепляющего кольца на напряжения в цилиндрической оболочке с круговым отверстием. Доповіді АН УРСР, № 10, 1960.
13. Х. С. Хазанов. К расчету цилиндрических оболочек с круглыми отверстиями. Труды Куйбышевского авиационного института, вып. XXIX, 1967.
14. Х. С. Хазанов. Концентрация напряжений в цилиндрической оболочке с круговым вырезом. Труды Куйбышевского авиационного института, вып. XXXVI, 1968.
15. Ю. А. Шевляков. Концентрация напряжений в цилиндрической оболочке с круговым отверстием на боковой поверхности. Доповіді АН УРСР, № 2, 1955.